### ФИЗИЧЕСКАЯ ХИМИЯ НАНОКЛАСТЕРОВ, СУПРАМОЛЕКУЛЯРНЫХ СТРУКТУР И НАНОМАТЕРИАЛОВ

УЛК 544.72:538.971

## ФИНСЛЕР-ЛАГРАНЖЕВА КИНЕТИЧЕСКАЯ МОДЕЛЬ СТРУКТУРИЗАЦИИ ЛЕНГМЮРОВСКОГО МОНОСЛОЯ

© 2023 г. Н. Г. Крылова<sup>a,\*</sup>, Г. В. Грушевская<sup>b,\*\*</sup>

 $^a$ Белорусский государственный аграрный технический университет, Минск, Беларусь  $^b$ Белорусский государственный университет, Минск, Беларусь

\*e-mail: nina-kr@tut.by
\*\*e-mail: grushevskaja@bsu.by
Поступила в редакцию 30.11.2022 г.
После доработки 30.11.2022 г.
Принята к публикации 25.05.2023 г.

Предложена модель синтеза наноциклических координационных комплексов железа на поверхности водного раствора солей трехвалентного железа в состоянии двумерного фазового перехода 1-го рода типа S-L'. В рамках финслер-лагранжева формализма, изучены электрокапиллярные эффекты в кинетике нуклеации для таких ленгмюровских монослоев. Показано, что в условиях быстрого сжатия появляется дополнительный локальный минимум в потенциале поверхностного натяжения монослоя, что обуславливает пересыщение фазы и образование зародышей (доменов) кристаллической фазы с размерами, значительно превышающими критический. Это приводит к появлению плато на изотерме сжатия и формированию многодоменной структуры монослоя. Установлено, что за счет того, что эффективный заряд гидратированных комплексов двухвалентного железа больше, чем эффективный заряд комплексов трехвалентного железа, электрокапиллярные явления на границе раздела фаз приводят к формированию доменов высокоспиновых октаэдрических комплексов двухвалентного железа с олигомерами дитионилпирролового ряда.

*Ключевые слова*: ленгиюровский монослой, фазовый переход 1-го рода, финслер-лагранжева геометрическая модель, высокоспиновый октаэдрический координационный комплекс железа

DOI: 10.31857/S0044453723110183, EDN: VKNUIX

### **ВВЕДЕНИЕ**

В настоящее время технология Ленгмюра становится актуальной в связи с эффективностью ее использования для синтеза перспективных макроциклических и наноциклических гетеросоединений и для выявления механизмов взаимодействия сложных соединений с образованием стереокомплексов и супрамолекулярных систем [1–4].

Мономолекулярный слой (монослой) толщиной в одну молекулу формируется посредством сжатия двумерного (2D) газа амфифильных молекул на границе раздела фаз жидкая субфаза—воздух. Ленгмюровский монослой структурируется в процессе 2D фазового перехода 1-го рода из состояния растянутой жидкости в жидкокристаллическое состояние [5–7]. По сравнению с другими методами формирования 2D-материалов, ленгмюровская технология отличается контролируемостью процесса, а также воспроизводимостью и высоким качеством структуры формируемых монослоев [8]. Ультратонкие наноструктурированные пленки, получаемые ассемблированием кри-

сталлических монослоев, перспективны для приложений в наноэлектронике, нанофотонике, бионаносенсорике и сенсорике ионов тяжелых металлов в качестве высокоэффективных преобразователей слабых сигналов, а также для сборки молекулярных машин (устройств).

Современное описание фазовых переходов 1-го рода, называемое теорией слабой кристаллизации [9, 10], основывается на теории среднего поля Ландау, не учитывающей многочастичное взаимодействие, и дополняется методами молекулярной динамики с полуэмпирическими парными потенциалами [11-13]. Эта теория применима для описания перехода в кристаллическое состояние расплава тонкой пленки сополимера, когда амплитуда периодического потенциала мала в момент начала кристаллизации, но постепенно нарастает с переходом в кристаллическое состояние, поскольку флуктуации полимерной конфигурации незначительны из-за массивности полимера [14-16]. В общем случае временная эволюция ансамбля зародышей (доменов) новой фазы в процессе нуклеации и роста описывается кинетическим уравнением типа уравнения Фоккера-Планка. Из-за влияния пересыщения на нуклеацию кинетика фазовых переходов оказывается сложной и для большинства систем численный анализ возможен только посредством упрошенного описания метастабильного состояния [17]. Поскольку переход в метастабильное многодоменное состояние происходит за время, много меньшее, чем характерное время фазового перехода, большинство моделей строится в предположении мгновенного возникновения метастабильного состояния. Например, в кинетической теории зарождения Беккера-Деринга-Зельдовича [18] микроскопически рассматривается образование зародышей только одного критического размера и их последующий рост (или уменьшение) за счет присоединения (потери) одной молекулы.

Экспериментально установлено, что протекание 2D фазовых переходов 1-го рода в ленгмюровском монослое характеризуется появлением многообразной доменной структуры с распределением времен релаксации и существенно зависит от параметров субфазы и скорости сжатия [19-25]. Эти эффекты обусловлены электрокапиллярными явлениями: поворотом диполей на границе раздела фаз и перераспределением плотности заряда двойного слоя Гельмгольца. В этом случае нельзя пренебречь переходными процессами образования (рождения) и уничтожения зародышей фазы и, соответственно, процесс кристаллизации запускается только из метастабильного многодоменного состояния, потенциальная энергия которого велика.

Ранее нами была предложена финслер-лагранжева геометрическая теория для описания нуклеации ленгмюровского монослоя при различных скоростях сжатия [26-30]. В последнее время активно развиваются подходы, базирующиеся на сочетании методов теории устойчивости и методов дифференциальной геометрии, для анализа различных динамических систем. КСС (Косамби-Картана-Черна)-теория основывается на фундаментальном предположении, что имеется соответствие между динамической системой, описываемой системой дифференциальных уравнений второго порядка, и уравнениями геодезических в финслеровом или лагранжевом пространстве, ассоциированном с данной системой. КСС-теория является геометрическим подходом к описанию поведения вариации траекторий динамической системы [31-34]. КСС-теория систем обыкновенных дифференциальных уравнений использует пять геометрических инвариантов, которые, с точностью до координатных преобразований, определяют решения данной системы. Динамика системы исследуется в конфигурационном пространстве  $(\vec{x}, \vec{\dot{x}})$  с фундаментальной функцией (лагранжианом) L.

При сжатии ленгмюровского монослоя проводящих олигомеров тиофен-пирролового ряда на поверхности раствора солей металлов возможно образование наношиклических соединений переходных металлов и редкоземельных элементов. Перспективно использование координационных тиофен-пирроловых комплексов в качестве трансдъюсеров гибридизационного сигнала электрохимических ДНК-наносенсоров [35, 36], а тиофен-пирроловый сополимер предложено использовать в качестве стабилизатора поверхностных экситонно-фотонных состояний приэлектродных материалов полимерных солнечных элементов и полимерных полевых транзисторов [37]. Однако структурная устойчивость таких наноциклических координационных соединений изучена недостаточно.

В данной работе мы применяем финслерлагранжев формализм 2D фазовых переходов 1-го рода типа S-L' [12] в ленгмюровском монослое, чтобы выявить эффекты ионного состава субфазы, температуры и параметров двойного заряженного слоя Гельмгольца на синтез наноциклических координационных соединений металлов. Контролирование валентного состояния иона металла позволило бы оптимизировать процесс комплексообразования.

Целью данной работы является исследование электрокапиллярных эффектов в кинетике нуклеации в ленгмюровском монослое в состоянии 2D фазового перехода 1-го рода типа S-L' и изучение изменения валентного состояния металла в процессе формирования координационных комплексов железа с олигомерами дитионилпирролового ряда.

### ЭКСПЕРИМЕНТАЛЬНАЯ ЧАСТЬ И МЕТОДИКА РАСЧЕТА

#### Реагенты

Водные растворы солей  $Fe(NO_3)_3 \cdot 9H_2O$  и  $FeCl_3$  (Sigma Aldrich, США) использовались для приготовления субфазы. Значение рН доводили до  $1.65 \pm 0.01$  путем добавления соляной кислоты (ОАО "Белхим"). Дитионил-дикетоновый олигомер 1,4-ди(2-тиенил)бутан-1,4-дион (1,4-bis(2-thienyl)butane-1,4-dione; дитионил-дикетон) с алкильной (углеводородной) цепочкой  $C_{16}H_{33}$  использовался для синтеза дитионил-пирролового олигомера 2,5-ди(2-тиенил)пиррол (2,5-di-(2-thienyl)-руггоle; 2,5-di(2-thienyl)-1H-руггоle) с алкильной цепочкой  $C_{16}H_{33}$ , описываемого химической формулой 3-гексадецил-2,5-ди(2-тиенил)-1H-пиррол и для краткости называемого H-дитионилпиррол или H-DTP. H-дитионилпиррол

получался из дитионил-дикетона в результате реакции Пааля Кнорра [38] методами Винберга—Мецелара (Wynberg—Metselaar) [39] и Кулинковича [40].

ЯМР-спектры Н-дитионилпиррола записывали на ЯМР-спектрометре "Bruker Avance 400" (Германия) с рабочей частотой 400 и 100 МГц для ядер <sup>1</sup>Н и <sup>13</sup>С, соответственно, в растворе CDCl<sub>3</sub>. Спектр ЯМР <sup>1</sup>Н (400 МНz, CDCl<sub>3</sub>),  $\delta$ , м.д.: 8.11 (с. 1H), 7.34-6.93 (M, 6H), 2.64 (C, 1H), 1.71-1.58 (M, 2H), 1.46-1.21 (M, 28H), 0.88 (T, J = 6.7 Гц, 3H). Спектр ЯМР <sup>13</sup>С (100 МНz, CDCl<sub>3</sub>),  $\delta$ , м.д.: 127.86, 127.64, 124.65, 123.50, 122.87, 122.74, 120.99, 109.21, 32.08, 30.90, 29.86, 29.70, 29.52, 26.79, 22.85, 14.29. ИК-спектр Н-дитионилпиррода записывали на ИК-спектрометре VERTEX-70 (Bruker Austria GmbH). ИК -спектр (КВr), v, см<sup>-1</sup>: 3411, 2917, 2849, 1503, 1471, 1416, 844, 799, 711, 686. Рабочий раствор H-дитионилпиррола ( $1.0 \times 10^{-3}$  M) получали растворением в гексане.

Деионизованная вода с удельным сопротивлением 18.2 МОм·см использовалась для приготовления водных растворов.

#### Методы

Метод Ленгмюра-Блоджетт. Исследуемые монослои формировали на поверхности раздела фаз водная субфаза-воздух методом растекания из раствора в ванне Ленгмюра—Блоджетт (ЛБ). Раствор вещества в гексане выкапывался на поверхность субфазы дозатором. Поверхностное натяжение измерялось высокочувствительным резонансным индуктивным датчиком. Перед проведением экспериментов ЛБ-ванна и барьер промывались ацетоном, а затем деионизованной водой. Датчик калибровался по значениям поверхностного натяжения чистой воды и в момент отрыва пластинки Вильгельми. Поверхностное давление монослоя  $\pi$  на поверхности субфазы рассчитывалось как приращение относительно поверхностного натяжения чистой воды. Зависимость  $\pi - A$ -изотермы от начальной поверхностной концентрации вещества [41] исключалась исходным нанесением на поверхность субфазы такого количества вещества, чтобы поверхностное давление изменялось на величину менее 0.01 мН/м.

Ленгмюровские монослои формировали при температуре  $17\pm0.2^{\circ}$ С. Воспроизводимость термодинамических характеристик монослоя проверялась многократным записыванием изотерм (не менее 5 раз) в разное время. Перенесение по Y-типу монослоев на твердые подложки осуществляли методом вертикального лифта.

Мессбауэровская спектроскопия. Валентность координационного металлоцентра комплексов, формирующих железосодержащие ЛБ-монослои устанавливалась методами ядерной гамма-резонансной (ЯГР) спектроскопии. ЯГР-спектры регистрировались в просвечивающей геометрии при комнатной температуре с помощью спектрометра MS2000 с источником <sup>57</sup>Co/Rh (40 мКи). Все изомерные сдвиги приведены относительно α-Fe.

Численное моделирование. Финслер-Лагранжее формализм. При численном моделировании используется лагранжиан, описывающий двумерный фазовый переход 1-го рода в ленгмюровском монослое и определяемый следующим образом.

Возрастание плотности монослоя  $n(\vec{r},t)$  при его сжатии сопровождается увеличением вероятности распада гидратного комплекса с образованием зародыша кристаллической фазы. Обозначим через  $n_c$  плотность критического зародыша, а через  $a_s^2$  — площадь зародыша кристаллической фазы. Из пропорциональности размера домена (зародыша) и его времени релаксации (жизни)  $\tau$ ,  $\tau > 0$  можно записать следующее соотношение:

$$a_S^2 = a_c^2 \tau$$
,

где  $a_c$  — размер критического зародыша кристаллической фазы. Пусть при  $\tau=1$  образовавшийся зародыш имеет критический размер, и система находится в квазистационарном состоянии. При  $\tau>1$  и  $\tau<1$  зародыш фаз имеет размер больше или меньше критического, соответственно. Полагая, что в фазовом элементе кристаллического состояния плотность равна  $n_c$ , масса зародыша выражается формулой:  $M_S=mn_ca_S^2=mn_ca_c^2\tau$ , где m — масса одной молекулы. Тогда динамика зародыша кристаллической фазы определяется его кинетической энергией

$$\frac{M_S}{2}\dot{r}^2 + \frac{M_S r^2}{2}\dot{\varphi}^2$$

и эффективным потенциалом

$$U_1 a_S^2 = \frac{U(\dot{r}, r, t)}{n_c} \dot{\xi}.$$

Здесь введено обозначение  $\xi = \tau$ , и эффективный потенциал зародыша фазы, в состав которого входят N амфифильных молекул с потенциальной энергией  $U_1$ , определяется потенциалом поверхностного натяжения U ленгмюровского монослоя в точке с координатами  $(r, \varphi)$  в момент времени t как [26-29]

$$U_1 a_S^2 = U_1 a_c^2 \tau = U_1 \frac{N}{n_c} \tau = U \frac{\tau}{n_c},$$

где

$$U(\dot{r}, r, t; V) = -\tilde{k} \left[ P_{1}e^{\frac{2Vt}{r}} - \frac{2}{3}(Vt)^{5} \left(6 - \frac{Vt}{r}\right) Ei \left[\frac{2Vt}{r}\right] - \frac{V}{\dot{r}} \left( P_{2}e^{\frac{2Vt}{r}} - -\frac{4}{3}(Vt)^{5} Ei \left[\frac{2Vt}{r}\right] \right) \right],$$

$$P_{1} = -\frac{3}{4}r^{5} + (Vt)r^{4} + \frac{3}{4}(Vt)^{2}r^{3} + \frac{5}{6}(Vt)^{3}r^{2} + \frac{11}{6}(Vt)^{4}r - \frac{1}{3}(Vt)^{5},$$

$$P_{2} = r^{5} + \frac{1}{2}(Vt)r^{4} + \frac{1}{3}(Vt)^{2}r^{3} + \frac{1}{3}(Vt)^{3}r^{2} + \frac{2}{3}(Vt)^{4}r, \quad \tilde{k} = \frac{\pi q^{2}k}{15\epsilon\epsilon_{0}} \frac{n_{0}^{2}}{R^{2}},$$

$$(1)$$

V- скорость сжатия монослоя; q- заряд ионизированной молекулы;  $n\equiv n(r,t)-$  плотность амфифильных молекул в ленгмюровском монослое;  $n_0$ ,  $R_0-$  поверхностная плотность и радиус монослоя в начале сжатия, соответственно;  $\varepsilon_0$  и  $\varepsilon-$  электрическая постоянная и диэлектрическая проницаемость воды, соответственно; Ei- специальная математическая функция (интегральная показательная функция); k- параметр модели.

Лагранжиан является разностью кинетической энергии зародыша и его эффективного потенциала:

$$L_{S} = ma_{c}^{2}n_{c}\frac{\dot{r}^{2} + r^{2}\dot{\varphi}^{2}}{2}\dot{\xi} + \frac{\tilde{k}}{n_{c}}\dot{\xi} \times \left(P_{l}e^{\frac{2Vt}{r}} - \frac{2}{3}(Vt)^{5}\left(6 - \frac{Vt}{r}\right)Ei\left[\frac{2Vt}{r}\right] - \frac{V}{\dot{r}}\left[P_{2}e^{\frac{2Vt}{r}} - \frac{4}{3}(Vt)^{5}Ei\left[\frac{2Vt}{r}\right]\right]\right).$$

$$(2)$$

Описание функции распределения времен релаксации (жизни) фазовых доменов (зародышей фазы) достигается путем применения следующей параметризации:

$$t \to t(s), \quad \vec{r}(t) \to \vec{r}(t(s)), \quad \dot{\xi} \equiv \frac{dt}{ds},$$
 
$$\vec{r} = \frac{d\vec{r}}{dt} = \frac{d\vec{r}}{ds}\frac{ds}{dt} = \frac{\vec{r}'}{\xi}.$$

Следует отметить, что в  $\vec{r}$  штрих указывает на то, что производная берется не по времени, а по новому эволюционному параметру s. При этом время t перестает быть параметром системы, и явля-

ется независимой координатой. При такой параметризации лагранжиан (2) принимает вид

$$L_{S} = ma_{c}^{2}n_{c}\frac{\dot{r}^{12} + r^{12}\dot{\phi}^{12}}{2\dot{\xi}} + \frac{\tilde{k}}{n_{c}}\dot{\xi} \times \left(P_{1}e^{\frac{2Vt}{r^{2}}} - \frac{2}{3}(Vt)^{5}\left(6 - \frac{Vt}{r^{2}}\right)Ei\left[\frac{2Vt}{r^{2}}\right] - \left(3\right)\right)$$
$$-\xi\frac{V}{\dot{r}^{2}}\left[P_{2}e^{\frac{2Vt}{r^{2}}} - \frac{4}{3}(Vt)^{5}Ei\left[\frac{2Vt}{r^{2}}\right]\right].$$

Квадрат метрической функции введенного конфигурационного финслер-лагранжевого пространства записывается в виде:

$$F^{2} = A\frac{\dot{\xi}^{3}}{\dot{r}} + B\dot{\xi}^{2} - C\frac{(\dot{r}^{2} + r^{2}\dot{\phi}^{2})}{2},$$
 (4)

гле

$$C = ma_c^2 n_c, \quad A = \tilde{p} V \left( P_2 e^{\frac{2Vt}{r}} - \frac{4}{3} (Vt)^5 Ei \left[ \frac{2Vt}{r} \right] \right),$$

$$B = \Lambda^2 - \tilde{p} \left( P_1 e^{\frac{2Vt}{r}} - \frac{2}{3} (Vt)^5 \left( 6 - \frac{Vt}{r} \right) Ei \left[ \frac{2Vt}{r} \right] \right),$$

$$\tilde{p} = \frac{\tilde{k}}{n_c}.$$

Кинетика нуклеации определяется уравнениями Лагранжа—Эйлера:

$$\frac{dy^{i}}{ds} + 2G^{i} = 0, \quad G^{i} = \frac{1}{4}g^{il} \left\{ 2\frac{\partial g_{jl}}{\partial x^{k}} - \frac{\partial g_{jk}}{\partial x^{l}} \right\} y^{j}y^{k}, \quad (5)$$

где 
$$g_{ij}(x^k, y^k) = \frac{1}{2} \frac{\partial^2 F^2}{\partial y^i \partial y^j}, \ x^j = \{t, r, \phi\}, \ y^j = dx^j / ds = \{\xi, \dot{r}, \dot{\phi}\}.$$

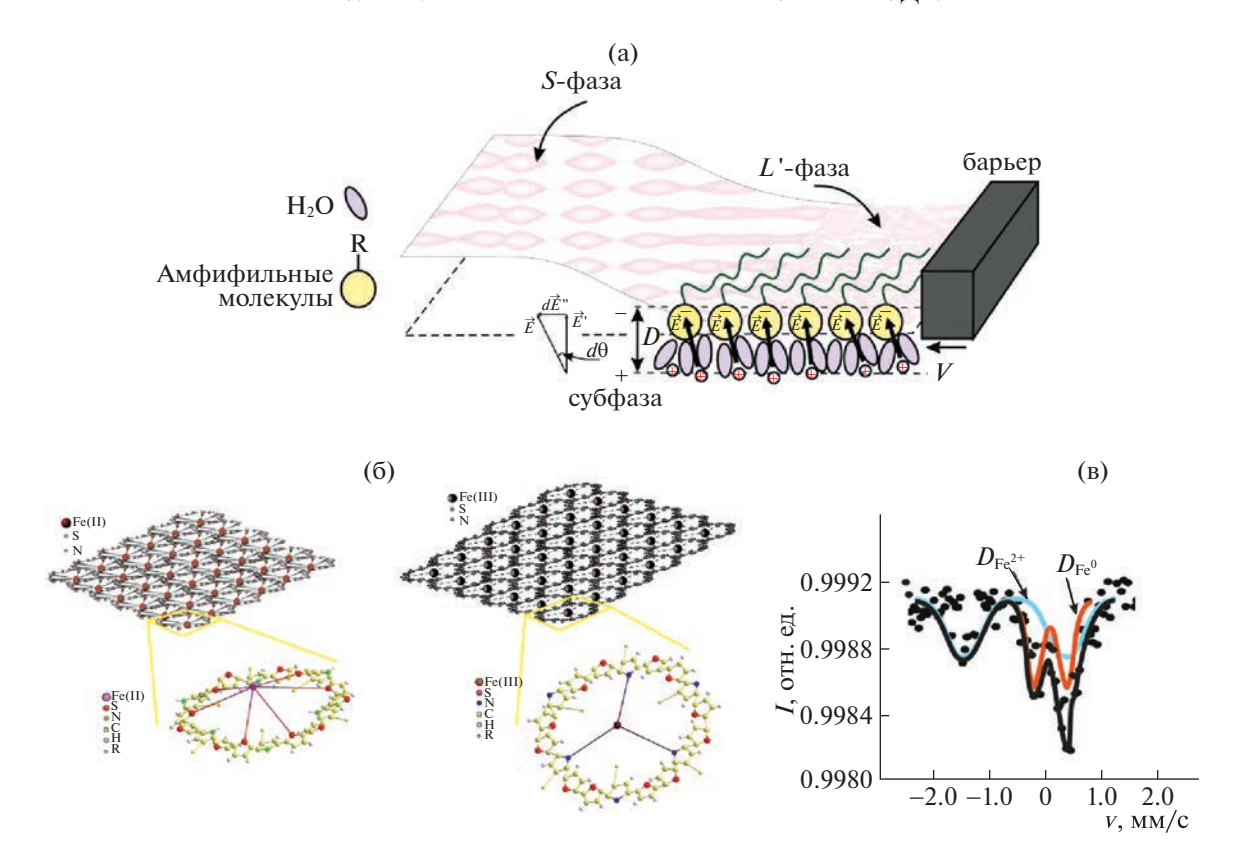
Анализ устойчивости состояний по КСС-инвариантам. Нелинейная связность  $N_j^i$  задает КСС-ковариантную производную векторного поля  $\xi^i(s)$ 

$$\frac{D\xi^{i}}{ds} = \frac{d\xi^{i}}{ds} + N_{j}^{i}\xi^{j}, \quad N_{j}^{i} = \frac{\partial G^{i}}{\partial v^{j}},$$

которая применительно к векторному полю Лиувилля  $y^i \frac{\partial}{\partial y^i}$  вдоль геодезических приводит к системе вила

$$\frac{Dy^{i}}{ds} = N_{j}^{i} y^{j} - 2G^{i} \equiv \varepsilon^{i}. \tag{6}$$

Здесь  $\varepsilon^{i}$  — контравариантное векторное поле в пространстве  $(\vec{x}, \vec{\dot{x}}, s)$ , интерпретируемое как внешняя сила. Это поле называют первым КСС-



**Рис. 1.** Схема формирования ленгмюровского монослоя (а). Структура монослоев, формируемых (слева) октаэдрическими и (справа) плоскими комплексами Fe(II) и Fe(III), соответственно (б); на вставках изображены структуры Fe(II)DTP и Fe(III)DTP. ЯГР-спектр железосодержащей 13-монослойной ЛБ-пленки дитионилпиррола (в).

инвариантом. Для изучаемого статистического пространства ленгмюровского монослоя первый КСС-инвариант равен нулю, что доказывает его финслерову геометрию.

Пусть имеется близкая к  $x^{i}(s)$  геодезическая  $\overline{x}^{i}(s) = x^{i}(s) + \xi^{i}(s)\eta$ . Уравнение девиации можно записать так:

$$\frac{D^2 \xi^i}{ds^2} = P_r^i \xi^r,$$

где

$$P_{j}^{i} = 2\frac{\partial G^{i}}{\partial x^{j}} + 2G^{l}\frac{\partial N_{j}^{i}}{\partial y^{l}} - \frac{\partial N_{j}^{i}}{\partial x^{l}}y^{l} - N_{l}^{i}N_{j}^{l} - \frac{\partial N_{j}^{i}}{\partial s}, \quad (7)$$

есть отклоняющий тензор кривизны, который является вторым КСС-инвариантом. Состояние (траектория) системы, описываемой обыкновенным дифференциальным уравнением второго порядка, устойчиво только тогда, когда собственные значения отклоняющего тензора кривизны (второго КСС-инварианта) строго отрицательны.

Численные расчеты выполнялись с использованием программного пакета Wolfram Mathematica 12.

# ОБСУЖДЕНИЕ РЕЗУЛЬТАТОВ

Модель

Мы экспериментально и численно анализировали стабильность координационных комплексов двухвалентного и трехвалентного железа, формируемых сжатием ленгмюровского монослоя Н-дитионилпиррола на поверхности водных растворов солей трехвалентного железа при рН кислотной среды с образованием НО или НО с в следующих процессах синтеза:

$$\begin{split} &H\text{-}DTP + Fe(OH)_3 \xrightarrow{HCI} Fe(II)DTP^- + \\ &+ HO^{\bullet} + H^+ \xrightarrow{HCI} Fe(II)DTP \cdot H_2O, \\ &H\text{-}DTP + FeCl}_3 \xrightarrow{HO^{\bullet}CI^{\bullet}} Fe(III)DTP + HCl. \end{split}$$

Процесс формирования ленгиюровского монослоя, а также структура плоского и октаэдрического комплексов Fe(III)DTP и Fe(II)DTP, соответственно, схематически представлены на рис. 1а,б.

В ЯГР-спектре железосодержащей 13-монослойной дитионил-пирроловой ЛБ-пленке наблюдаются два дуплета, показанные на рис. 1в. Первый дуплет  $D_{{\rm Fe}^{2+}}$  регистрируется на скорости

v порядка (-1.6) мм/с, а второй дуплет  $D_{{\rm Fe}^0}$  — на скорости v порядка (-0.3) мм/с. Такие значения vблизки к v = 1.7 мм/с и 0.4 мм/с, характерным для дуплетов парамагнитного иона  ${\rm Fe}^{^{2+}}$  оксида металлического сплава FeCoZr и суперпарамагнитного  $Fe^0$  в неокисленном FeCoZr, соответственно [42]. Уширенные линии  $D_{{\rm Fe}^{2+}}$  на рис. 1в свидетельствуют о взаимодействии ионов железа с диэлектрической 2D-матрицей. Наоборот, узость линий дуплета  $D_{{\rm Fe}^0}$  на рис. 1в означает, что восстановление атомов железа сопровождается выходом этих атомов из плоскости монослоя. Таким образом, мессбауэровский спектр 13-ти FeDTPмонослойной ЛБ-пленки на рис. 1в указывает на двухвалентное состояние атомов Fe, и, соответственно, на формирование высокоспинового октаэдрического комплекса Fe(II)DTP.

Далее, мы изучаем механизм формирования монослоев наноциклических соединений FeDTP и устанавливаем причины более высокой структурной устойчивости высокоспинового октаэдрического комплекса Fe(II)DTP.

Термодинамика 2D фазовых переходов 1-го рода

В начале процесса сжатия концентрация вещества, нанесенного на поверхность субфазы, настолько мала, что уравнение состояния амфифильных молекул описывается уравнением состояния идеального газа:

$$\Delta pS = Nk_{\rm B}T$$
,

где S — площадь монослоя, T — температура,  $k_B$  — постоянная Больцмана. Число зародышей (доменов) фазы N появившихся за время  $\delta t_i = \delta s \tau_i$ ,  $i=1,2,\ldots$  в точке  $\vec{r}_i(t)$  монослоя к моменту времени t равно

$$N = \int_{0}^{t} \sum_{i} n(r_{i}, t_{i} = t' + \Delta s(r_{i}(t'))\tau_{i}) dt' \approx$$

$$\approx \int_{0}^{t} \sum_{i} \left( n(r_{i}, t') + \frac{dn}{dt'} \Big|_{r_{i}} \Delta s(r_{i}(t'))\tau_{i} \right) dt' =$$

$$= \int_{0}^{t} \sum_{i} \frac{dn}{dt'} \Delta s(r_{i}(t'))\tau_{i} dt'.$$

Здесь учитывается, что первый член суммы плотностей  $n_i$  равен нулю, так как фазовый зародыш отсутствует до момента времени t'; величина  $\tau_i$  — время жизни зародыша, возникшего в точке  $\vec{r_i}(t')$ . Так как многорелаксационный процесс фазового перехода 1-го рода характеризуется непрерывным распределением времен жизни фазовых доменов и скорость рождения зародышей фаз во всех точ-

ках монослоя в состоянии идеального газа одна и та же, то в предельном случае сплошного монослоя число зародышей равно

$$N = \Delta s \iiint \frac{dn}{dt} \xi r dr d\varphi dt \approx \Delta s \int S \xi dn.$$

Так как

$$dn = d \frac{N_{\text{origin}}}{\pi (R_{\text{hath}} - Vt)^2} = \frac{2V N_{\text{origin}}}{\pi (R_{\text{hath}} - Vt)^3} dt,$$

результатом численного моделирования s(r) является следующая оценка  $\pi - A$ -изотермы сжатия ленгмюровского монослоя:

$$p(r) \sim s(r) 2k_{\rm B}TVN_{\rm origin} \int \frac{\dot{\xi}}{\pi (R_{\rm eff} - V_f)^3} dt.$$

Здесь  $N_{\text{origin}}$  — исходное количество вещества, нанесенное на поверхность ленгмюровской ванны радиуса  $R_{\text{bath}}$ .

В процессе сжатия диполи гидратных комплексов, формирующих двойной заряженный слой, начинают вращаться [26]. Работа dW, совершенная за время t и затраченная на сжатие малой кольцевой площадки толщиной  $\Delta r_0$  в ленгмюровской пленке, в которой электрическое поле  $\overrightarrow{E}$  двойного слоя постоянно подкручивается (вращается) на малый угол  $d\theta$ , (см. рис. 1a) равна

$$\Delta W = -2\pi q \Delta r_0 \int_0^t r(t') n(\vec{r}, t') \frac{dr}{dt'} \times$$

$$\times \int_0^t |\vec{E}'(t'')| \operatorname{tg} d\theta(t'') dt' =$$

$$= \Delta \sigma - \frac{\pi q^2 D}{\varepsilon \varepsilon_0} n^2 r \Delta r_0,$$

где  $2\pi r(t)n(\vec{r},t)q\Delta r_0$  — электрический заряд кольца,  $\vec{r}$  — радиус-вектор точки кольца, несущей электрический заряд q;  $\sigma$  — энергия поверхностного натяжения монослоя, второй член в последнем равенстве — изменение энергии монослоя, моделируемого плоским электрическим конденсатором с расстоянием D между пластинами, вследствие изменения плотности n электрического заряда при сжатии. Так как толщина D порядка дебаевской длины очень мала, то в дальнейшем вторым вкладом пренебрегаем. Так как напряженность электрического поля плоского конден-

сатора равна  $E'=rac{qn(r,t")}{arepsilon_0 arepsilon},$  и  $\operatorname{tg}(d\theta) pprox d\theta,$  то приблизительно

$$\Delta \sigma \approx -\frac{2\pi q^2}{\varepsilon \varepsilon_0 D} \Delta r_0 \int_0^t r^2(t') n^2(r,t') \frac{dr}{dt'} dt'.$$

Это значит, что коэффициент k в (2) приблизительно обратен дебаевской длине: k=1/D. Учитывая явное выражение для дебаевской длины [43], зависимость коэффициента k от состава субфазы при формировании комплексов двухвалентного железа определяется как

$$k_{\text{Fe(II)}} = \sqrt{\frac{\sum_{j=\text{H}^+,\text{Cl}^-} q_j^2 n_j}{\varepsilon \varepsilon_0}},$$
 (8)

а при формировании комплексов трехвалентного железа — как

$$k_{\text{Fe(III)}} = \sqrt{\frac{q_{\text{H}^{+}}^{2}(n_{\text{H}^{+}} - n_{\text{HO}^{\bullet}\text{Cl}^{\bullet}}) + q_{\text{Cl}^{-}}^{2}(n_{\text{Cl}^{-}} - n_{\text{HO}^{\bullet}\text{Cl}^{\bullet}})}{\varepsilon\varepsilon_{0}}}.$$
 (9)

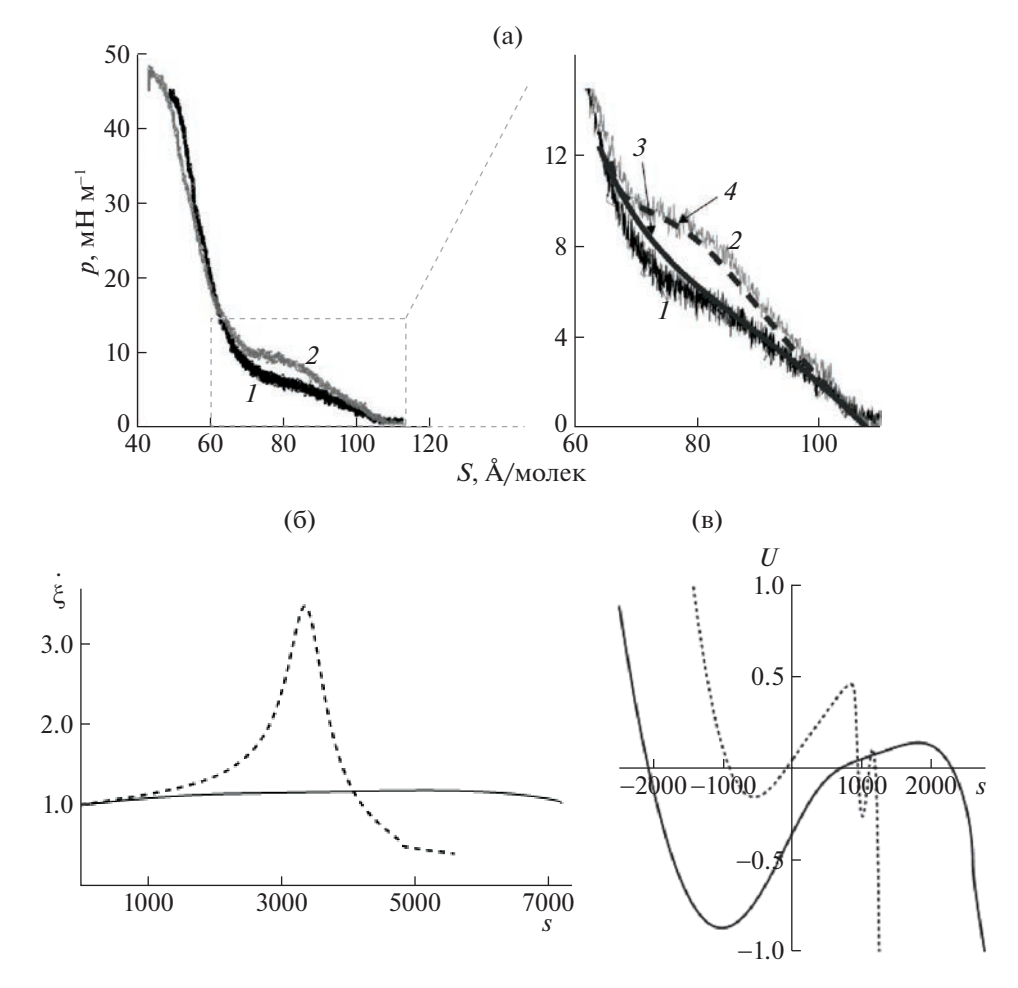
Здесь  $n_{\mathrm{H^+}}$  и  $n_{\mathrm{Cl^-}}$  — концентрации ионов  $\mathrm{H^+}$  и  $\mathrm{Cl^-}$  соответственно;  $n_{\mathrm{HO^+Cl^+}}$  — концентрация  $\mathrm{HO^+Cl^+}$ ,  $q_j$  — заряд j-го иона,  $j=\mathrm{H^+}$ ,  $\mathrm{Cl^-}$ . Эффективный заряд ионизированных амфифильных молекул при формировании октаэдрических и плоских комплексов FeDTP равен  $qk_{\mathrm{Fe(II)}}$ , q=-2 и  $qk_{\mathrm{Fe(III)}}$ , q=-3 соответственно. Так как  $q_{\mathrm{Fe(III)}}^{\mathrm{eff}}\equiv qk_{\mathrm{Fe(III)}}$  зависит от разности  $(n_j-n_{\mathrm{HO^+Cl^+}})$ ,  $j=\mathrm{H^+}$ ,  $\mathrm{Cl^-}$ , он оказывается меньше, чем  $q_{\mathrm{Fe(III)}}^{\mathrm{eff}}\equiv qk_{\mathrm{Fe(II)}}$  (сравни (8) и (9)).

# Структурирование ленгмюровских монослоев дитионил-пирроловых комплексов трехи двухвалентного железа

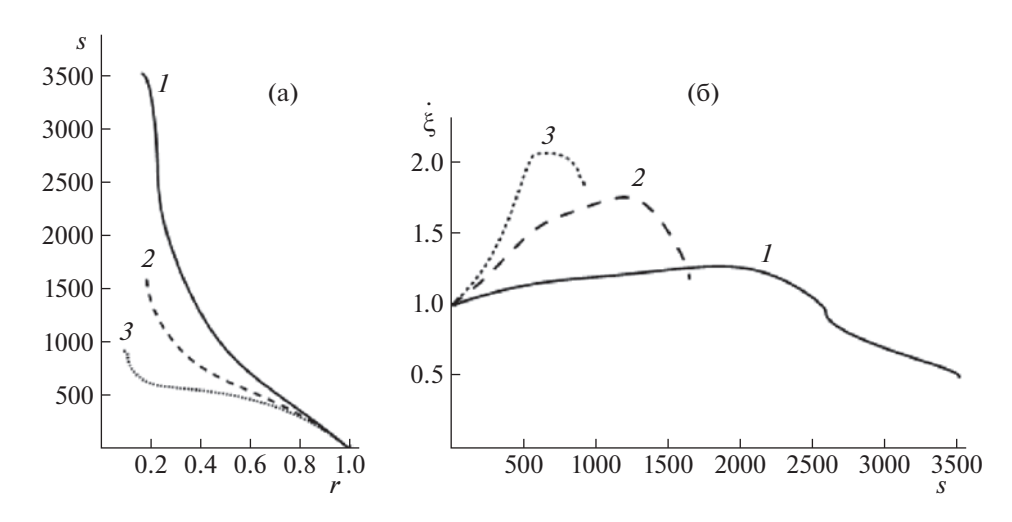
На рис. 2а приведены типичные экспериментальные изотермы при различных скоростях сжатия для монослоев производных дитионилпиррола (на субфазе FeCl<sub>3</sub>). Отмечаем, что изотерма сжатия характеризуется изгибом (плато) в области фазового перехода ( $p \sim 5-15 \text{ мH/м}$ ). Повышение скорости с 4 до 8 мм/мин приводит к появлению более выраженного плато и к росту поверхностного давления в области фазового перехода. Эти экспериментальные факты полностью предсказываются теоретическими  $\pi$ -A-изотермами (см. рис. 2а). Аналогичное поведение изотерм с увеличением скорости сжатия экспериментально наблюдалось для монослоя эруковой кислоты [25]. На рис. 26 представлены зависимости времен релаксации зародышей от эволюционного параметра s. Видно, что при малых скоростях Vсжатия происходит образование зародышей с размерами, близкими к критическому  $\dot{\xi} = 1$ . С ростом скорости сжатия появляется ярко-выраженный максимум в распределении времен релаксации доменов, который свидетельствует о значительном превышении размеров образующихся доменов над критическим. Полученные результаты о возрастании времени жизни доменов и появлении распределения релаксационных времен в процессе фазового перехода 1-го рода коррелируют с экспериментальными данными для DLPE (L-α-дилаурил-фосфатидилэтаноламин) монослоев, в которых при низких скоростях сжатия образуются близкие по размерам зародыши, в то время как при больших скоростях сжатия наблюдается существенный разброс зародышей по размерам [44].

Зависимость потенциала U поверхностного натяжения от эволюшионного параметра *s* для случаев малых (V = 1.2 мм/мин) и больших (V == 2.4 мм/мин) скоростей сжатия представлен на рис. 2в. При малых скоростях сжатия потенциал имеет один минимум и изгиб, указывающий на то, что система может находиться в состоянии безразличного равновесия из-за слабого понижения ее энергии при переходе системы в метастабильное состояние. При больших скоростях сжатия величина энергетического барьера снижается настолько, что появляется второй локальный минимум в потенциале. При этом появление метастабильного состояния сопровождается скачкообразным изменением свободной энергии ленгмюровского монослоя. Чем глубже второй локальный минимум энергии поверхностного натяжения монослоя, тем выше степень пересышения фазы из-за более длительного удержания амфифильных молекул в метастабильном состоянии.

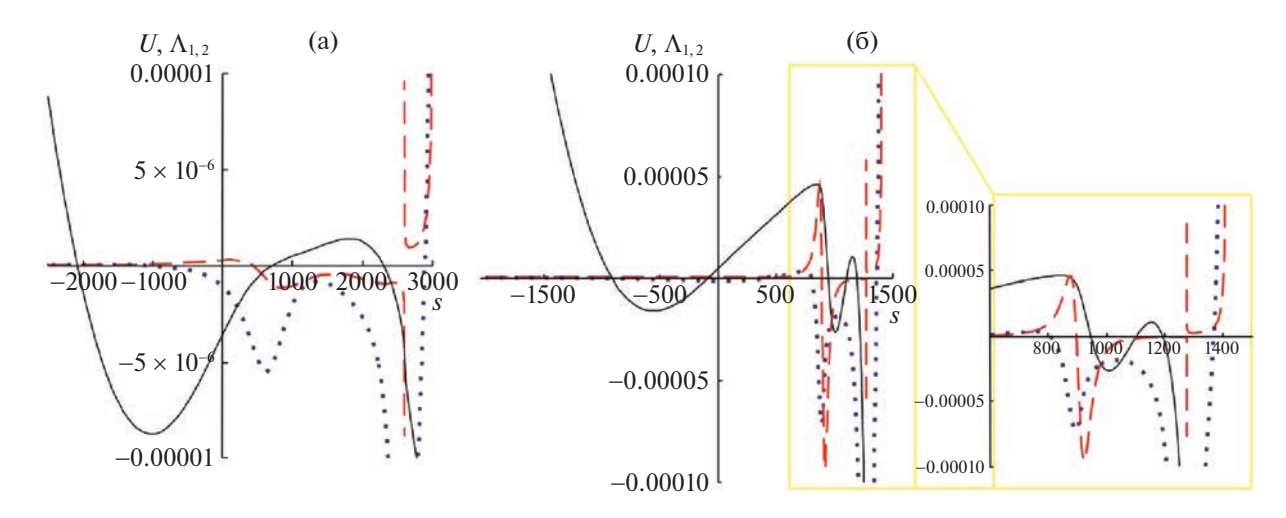
На рис. 3 представлены результаты численного моделирования при различных значениях эффективного заряда  $q_{\rm eff}$ . Видно, что с ростом эффективного заряда  $q_{\rm eff}$  фазовый переход происходит при более низких поверхностных давлениях. Появление ярко-выраженного плато при повышении величины  $q_{
m eff}$  свидетельствует об увеличении размеров доменов. Этот результат объясняет экспериментально наблюдаемый сдвиг фазового перехода в ленгмюровском монослое стеариновой кислоты в сторону низких давлений с ростом рН, поскольку, согласно [45], повышение рН субфазы приводит к возрастанию степени диссоциации карбоксильных групп, и, соответственно, возрастанию эффективного заряда ионизированной амфифильной молекулы. Так, например, отношение диссоциированных к недиссоциированным карбоксильным группам в монослое стеариновой кислоты увеличивается с 50%: 50% до 90%: 10%, и 99%: 1% при возрастании рН с 5.8 до 6.8 и 7.8 соответственно [46]. Согласно результатам моделирования масса т амфифильной молекулы практически не влияет на процесс фазового перехода, поскольку не наблюдается видимых изменений поведения изотермы даже при увеличении *т* в 100 раз.



**Рис. 2.** Экспериментальные (1 и 2) и теоретические (сплошная кривая 3 и штриховая кривая 4) изотермы (а). Теоретические распределения времен релаксаций  $\xi(s)$  при скоростях сжатия V=4 мм/мин (сплошная кривая) и V=8 мм/мин (пунктирная кривая) (б). Потенциалы U зародышей фазы, рассчитанные вдоль геодезических в конфигурационном пространстве монослоя при скоростях сжатия V=1.2 мм/мин (сплошная) и 2.4 мм/мин (штриховая) (в). Начальные условия:  $\xi_0=1$  с,  $r_0=1$ м,  $R_0=1$  м;  $\dot{r_0}=-1.75\times10^{-4}$  (а, б),  $-0.5\times10^{-4}$  (в) м/с; значения параметров:  $ma_c^2n_c\times10^5/\tilde{p}=1.25$  (а, б), 1 (в);  $\Lambda^2/\tilde{p}=1.25$  (а, б), 1 (в).



**Рис. 3.** Изотермы сжатия s(r) (a) и распределение времен релаксаций  $\dot{\xi}(s)$  (б) при различных ионных зарядах  $q_{\rm eff}$ . Расчеты выполнены при скорости сжатия V=1.2 мм/мин;  $q_{\rm eff}=1$  (1), 2 (2), 3 (3);  $ma_c^2n_c\times 10^5/\tilde{p}=1$  (1), 0.25 (2), 0.11 (3).



**Рис. 4.** Потенциалы зародышей фазы U (сплошные линии) и собственные значения второго инварианта  $\Lambda_1$  (штриховые линии),  $\Lambda_2$  (пунктирные линии), рассчитанные вдоль геодезических в конфигурационном пространстве. Расчеты выполнены для скоростей сжатия V = 1.2 (а) и 2.4 мм/мин (б).

# Сжимаемость и стабильность ленгмюровских монослоев наноциклических соединений Fe(II) и Fe(III)

Производная  $dp/d\tau$  по эволюционному параметру  $\tau$  определяет скорость изменения поверхностного давления p для тонкой кольцевой площадки радиуса r и толщины  $V\Delta t$  в монослое гидратных комплексов. Тогда в окрестности каждой ее точки  $\frac{\partial \left(\Delta Sp\right)}{\partial \tau} \approx \Delta r \frac{\partial \left(V\Delta tp\right)}{\partial \tau} \approx k_{\rm B}T \frac{\partial \rho}{\partial \tau} \Delta r = k_{\rm B}T\tilde{C}\Delta r$  и  $\partial r/\partial \tau \approx -C'$ , где  $\rho = \partial N/\partial r$ . Поскольку площадь S, приходящаяся на одну молекулу, равна  $S_0 - \left(\delta r(\tau)\right)^2$ , можно записать формулу для коэффициента сжимаемости  $\kappa = \frac{1}{S} \frac{\partial S}{\partial p}$  так:

$$\kappa = \frac{1}{\Delta r V \Delta t} \frac{\partial \Delta S}{\partial p} = \frac{1}{V \Delta t} \frac{\partial^2 S}{\partial p \partial r} = \frac{2}{k_{\rm B} T C''} \frac{\partial^2 \delta r}{\partial \tau^2},$$

где  $C'' = C'\tilde{C}$ , C',  $\tilde{C} > 0$ . Вариация  $\delta r$  рассчитывается по формуле  $\frac{\partial^2 \delta r(\tau)}{\partial \tau^2} = -K \delta r$  через флаговую кривизну K, которая определяется вторым КСС-инвариантом  $P_i^i$  [34].

Проанализируем устойчивость структуры монослоя по поведению  $P_j^i$ . Зависимости потенциала U и собственных значений  $\Lambda$  тензора девиации  $P_j^i$  (7) от эволюционного параметра рассчитывались вдоль геодезических, подставляя полученные численные решения уравнений Лагранжа— Эйлера для  $x^j(s)$  и  $y^j(s)$ . Полученные результаты представлены на рис. 4.

Согласно результатам моделирования, собственные значения  $\Lambda_1$ ,  $\Lambda_2$  либо оба, либо только одно дважды меняет знак. Из сравнения рис. 4а и 46 видно, что при высоких скоростях сжатия V возникновение зародышей фаз с размерами много больше критического ( $\xi \gg 1$ ) сопровождается появлением области неустойчивости, где конгруэнция геодезических расходится. В этой области монослой находится в метастабильном состоянии.

Согласно вышепредставленным теоретическим и экспериментальным результатам, эффективный заряд и соответственно лигандное поле октаэдрического комплекса Fe(II)DTP много больше, чем эффективный заряд для Fe(III)DTP:  $q_{Fe(III)}^{\rm eff} \ll q_{Fe(II)}^{\rm eff}$ . Это позволяет объяснить стабильность ленгмюровского монослоя из Fe(II)DTP-комплексов значительно более высокой вероятностью их синтеза, происходящего при более низком поверхностном давлении, в сравнении с вероятностью синтеза комплексов Fe(III)DTP, происходящего при более высоких значениях поверхностного давления, когда уже весь H-дитионилпирол израсходован на создание стабильных доменов кристаллической фазы Fe(II)DTP.

Таким образом, кривизна статистического многообразия монослоя описывает характерные особенности поведения сжимаемости ленгмюровского монослоя дитионилпиррола на поверхности водного раствора солей трехвалентного железа в фазовом переходе 1-го рода типа S-L'. Второй КСС-инвариант  $P_j^i$  и соответственно теоретически предсказываемая сжимаемость монослоя расходится и меняет знак дважды, по крайней мере для одного соб-

ственного значения также, как в экспериментально наблюдаемом фазовом переходе 1-го рода. Электрокапиллярные явления на границе раздела фаз приводят к формированию доменов высокоспиновых октаэдрических комплексов двухвалентного железа с дитионилпирролом. В условиях быстрого сжатия появляется дополнительный локальный минимум в потенциале поверхностного натяжения монослоя. При высоких скоростях сжатия формируется многодоменная структура монослоя.

#### СПИСОК ЛИТЕРАТУРЫ

- Rojewska M., Smułek W., Kaczorek E., Prochaska K. // Membranes. 2021. V. 11. P. 707.
- Gavande V., Kim G., Kim B. et al. // Molecular Crystals and Liquid Crystals. 2022. V. 742. P. 133. https://doi.org/10.1080/15421406.2022.2038457
- Grushevskaya H.V., Lipnevich I.V., Orekhovskaya T.I. // J. Modern Physics. 2013. V. 4. P. 7. https://doi.org/10.4236/jmp.2013.412A3002
- 4. *Selector S., Fedorova O., Lukovskaya E. et al.* // J. Phys. Chem. B. 2012. V. 116. № 5. P. 1482. https://doi.org/10.1021/jp2074122
- Möhwald H., Brezesinski G. // Langmuir. 2016. V. 32. P. 10445. https://doi.org/10.1021/acs.langmuir.6b02518
- 6. Блинов Л.М. // УФН. 1988. Т. 155. С. 443.
- Kundu S., Datta A. // Colloids and Surfaces A. 2006.
   V. 289. P. 250. https://doi.org/10.1016/j.colsurfa.2006.07.001
- Wang J., Liu B. // Sci. Technol. Adv. Mater. 2019. V. 20. P. 992. https://doi.org/10.1080/14686996.2019.1669220
- 9. Бразовский С.А., Дзялошинский И.Е., Муратов А.Р. // ЖЭТФ. 1987. Т. 93. № 3. С. 1110 / Brazovskii S.A., Dzyaloshinskii I.E., Muratov A.R. // Sov. Phys. JETP. 1987. V. 66. Iss. 3. P. 625.
- 10. *Кац Е.И., Лебедев В.В., Муратов А.Р.* // Физика твердого тела. 1989. Т. 31. № 4. С. 189.
- Karaborni S., Toxvaerd S. // J. Chem. Phys. 1992. V. 96. P. 5505.
- 12. *Kaganer V.M., Möhwald H., Dutta P.* // Rev. Mod. Phys. 1999. V. 71. Iss. 3. P. 779.
- 13. *O'Connor E*. Discontinuous molecular dynamics studies of model Langmuir monolayers: Thesis. University of Prince Edward Island, Canada, 2006. 110 p.
- Angerman H.Ja., Johner A., Semenov A.N. // Macro-molecules. 2006. V. 39. Iss. 18. P. 6210.
- Arora A., Qin J., Morse D.C. et al. // Ibid. 2016. V. 49.
   Iss. 13. P. 4675. https://doi.org/10.1021/acs.macromol.6b00107
- Erukhimovich I., Kriksin Yu. // J. Chem. Phys. 2019.
   V. 150. P. 224701. https://doi.org/10.1063/1.5108642

- 17. *Slezov V.V.* Kinetics of first-order phase transitions. Weinheim: Wiley-VCH, 2009. 415 p.
- Becker R., Doring W. // Annalen der Physik. 1935.
   V. 416. Iss. 8. P. 719. https://doi.org/10.1002/andp.19354160806
- Vollhardt D., Fainerman V.B. // J. Phys. Chem. B. 2002.
   V. 106. P. 345. https://doi.org/10.1021/jp012798u
- Kmetko J., Datta A., Evmenenko G., Dutta P. // Ibid. 2001. V. 105. P. 10818.
- Grushevskaya H.V., Krylov G.G., Krylova N.G., Lipnevich I.V. // IOP J. of Physics: CS. 2015. V. 643. P. 012015. https://doi.org/10.1088/1742-6596/643/1/012015
- Nandi N., Vollhardt D. // J. Phys. Chem. B. 2004.
   V. 108. Iss. 49. P. 18793. https://doi.org/10.1021/jp0461697
- 23. *Ruckenstein E.*, *Li B.* // Ibid.1998. V. 102. Iss. 6. P. 981. https://doi.org/10.1021/jp972748i
- Cai Z., Rice S.A. // Faraday Discuss. Chem. SOC. 1990. V. 89. P. 211. https://doi.org/10.1039/DC9908900211
- 25. Gellert F., Ahrens H., Wulff H., Helm C.A. // Membranes. 2022. V. 12. P. 698. https://doi.org/10.3390/membranes12070698
- 26. Balan V., Grushevskaya H., Krylova N., Neagu M. // Int. J. Nonlin. Phen. in Complex Sys. 2016. V. 19. № 3. P. 223.
- 27. *Крылова Н.Г.* // Веснік Брэсцкага ўніверсітэта. 2017. № 2. С. 27.
- 28. *Крылова Н.Г., Грушевская Г.В., Редьков В.М.* // Вес. Нац. акад. навук Беларусі. Сер. фіз.-мат. навук. 2017. № 3. С. 66.
- 29. Balan V., Grushevskaya H.V., Krylova N.G. et al. // Applied Sciences. 2019. V. 21. P. 11.
- 30. Balan V., Grushevskaya H.V., Krylova N.G., Krylov G.G. // Ibid. 2020. V. 22. P. 94.
- 31. *Antonelli P.L., Miron R. (Eds.)* Lagrange and Finsler geometry: Application to physics and biology. Springer, 1996. 328 p.
- 32. *Balan V.* Jet single-time Lagrange geometry and its application / V. Balan, M. Neagu Wiley, 2011. 194 p.
- 33. *Атанасиу Г., Балан В., Брынзей Н., Рахула М.* Дифференциальная геометрия второго порядка и приложения: Теория Мирона—Атанасиу. М.: Книжный дом "ЛИБРОКОМ", 2010. 256 с.
- 34. *Bao D., Chern S.S., Shen Z.* An introduction to Riemann-Finsler geometry. Berlin: Springer, 2000. 431 p.
- 35. *Грушевская Г.В., Бабенко А.С., Крылова Н.Г. и др. //* Наука и инновации. 2019. № 4. С. 23.
- Egorova V.P., Grushevskaya H.V., Babenka A.S. et al. // Semiconductors. 2020. V. 54. P. 1873. https://doi.org/10.1134/S1063782620140092
- Min J., Peng B., Wen Y. et al. // Synthetic Metals. 2011.
   V. 161. P. 1832. https://doi.org/10.1016/j.synthmet.2011.06.015

- 38. Смирнов В.И., Афанасьев А.В., Простакишин И.С., Беленький Л.И. // Химия гетероциклических соединений. 2013. № 3. С. 416.
- 39. Wynberg H., Metselaar J. // Synthetic Communications. 1984. V. 14. Iss. 1. P. 1.
- 40. *Kel'in A., Kulinkovich O. //* Folia pharm. Univ. Carol. (supplementum). 1995. V. 18. P. 96.
- 41. *Bhande R.S., Landge Y.A., Giri P.A.* // J. Chem. Pharm. Res. 2012. V. 4. № 6. P. 3297.
- 42. *Касюк Ю.В., Ларкин А.В., Федотова Ю.А.* // Вестн. БГУ. Сер. 1. 2011. № 2. С. 52.
- 43. *Крефт В.-Д., Кремп Д., Эбелинг В., Рёпке Г.* Квантовая статистика систем заряженных частиц. М.: Мир, 1988. 405 с.
- 44. Helm C.A., Moehwald H. J. Phys. Chem. 1988. V. 92. P. 1262. https://doi.org/10.1021/j100316a050
- 45. *Shih M.C., Bohanon T.M., Mikrut J.M. et al.* J. Chem. Phys. 1992. V. 96. № 2. P. 1556. https://doi.org/10.1063/1.462139
- 46. *Gaines G.L., Jr.* Insoluble Monolayers at Liquid—Gas Interfaces. New York: Interscience, 1966. 386 p.